

بهینه سازی ساختار شبکه های عصبی توسط اتماتانهای یادگیر

حمید بیگی محمدرضا میبدی

دانشکده مهندسی کامپیوتر

دانشگاه صنعتی امیر کبیر

تهران، ایران

چکیده

ثابت بودن ساختار شبکه در حین یادگیری، یکی از مشکلات آموزش شبکه های عصبی است. طراحی شبکه ابتدا ساختار مناسب شبکه را مشخص میکند و سپس شبکه را آموزش میدهد. جستجوی کامل در فضای ساختارها، تنها راه پیدا نمودن ساختار بهینه است و هزینه بالایی را در بر دارد. برای کاهش هزینه جستجو، روشهای تقریبی از جمله، الگوریتم های سازنده، الگوریتم های هرس، الگوریتم های ترکیبی و الگوریتم های تکاملی پیشنهاد شده اند که ساختار نزدیک به بهینه را تولید میکنند. در اغلب این روشهای برای پیدا نمودن ساختار شبکه از الگوریتم های کوهنوری استفاده میشود که مشکل گرفتاری در حداقل های محلی را نارند. در این مقاله از اتومانات یادگیر که یکی از روشهای جستجوی عمومی است برای تعیین ساختار شبکه استفاده شده است. برای این منظور الگوریتمی بنام الگوریتم بقا معرفی شده است که از یک اتومانات یادگیر و الگوریتم انتشار خطابه غصب استفاده میکند و در حین آموزش، ساختار مناسب شبکه را تعیین مینماید. در این روش آموزش را با یک شبکه بزرگ شروع نموده و اتومانات یادگیر با افزودن و کاستن واحدها سعی در پیدا نمودن ساختار مناسب برای شبکه را دارد. هر چند ممکن است این روش را در گروه الگوریتم های ترکیبی قرارداد زیرا واحد های مخفی هم هرس و هم اضافه میشوند، اما هدف استفاده از الگوریتم های سازنده یا الگوریتم های هرس با ترکیبی از آنها نیست. در این روش تعیین ساختار شبکه بعنوان مسئله افزار مجموعه ها تعریف شده است. این الگوریتم روی مسائل متنوعی پیاده سازی شده است و نتایج رخایت بخشی بدست آمده است.

کلمات کلیدی: بهینه سازی ساختار شبکه عصبی، آموزش شبکه عصبی، اتومانات یادگیر

۱- مقدمه

بهینه سازی ساختار شبکه از وضعیت^۱ موجود شبکه $(N_1 = (V_1, E_1))$

بدنبال یافتن وضعیت مناسبتر شبکه $(N_2 = (V_2, E_2))$ هستند.

الگوریتم بهینه سازی ساختار شبکه را میتوان بعنوان یک نگاشت

بصورت $N \rightarrow N$ Δ : تعریف نمود که از روی وضعیت N_1 وضعیت N_2 را پیدا

میکند. فضای جستجو را نیز میتوان یک گراف $(N, \delta) = A$ در نظر گرفت که N مجموعه گره ها و δ مجموعه کمانهای این گراف است. هر

گره از این گراف یک ساختار از شبکه را نشان میدهد و کمانهای این گراف

نمایانگر نگاشت ها هستند. هدف الگوریتم های تعیین ساختار شبکه،

پیشایش این گراف بمنظور پیدا کردن مناسبترین گره (شبکه) با حداقل

هزینه میباشد.

برای بهینه سازی ساختار شبکه های عصبی، الگوریتم های متعددی

پیشنهاد شده اند که قبل یا در حین یا بعد از یادگیری ساختار مناسب

برای شبکه را تعیین میکنند. بعضی از این الگوریتم ها از اطلاعات محلی و

شبکه های عصبی بصورت گسترده در کاربردهای زیادی مورد استفاده قرار

گرفته است. بیشتر این کاربردها از شبکه های عصبی پیش خور^۲ که

بوسیله الگوریتم انتشار خطابه غصب آموزش داده می شود استفاده

میکنند. کارایی این الگوریتم، علیرغم کاربردهای موفق آن بعیزان زیادی

به ساختار شبکه وابسته است. مسئله اصلی در تعیین ساختار شبکه

عصبی، تعیین تعداد لایه های مخفی، تعداد واحدهای مخفی در هر

لایه و اتصالات بین واحدها میباشد. مسئله طراحی یک شبکه با

ساختار بهینه یک مسئله Hard-NP است[۱۲] و بهمین جهت بیشتر

الگوریتم های تعیین ساختار شبکه، الگوریتم های تقریبی هستند.

یک شبکه عصبی را میتوان توسط یک گراف (V, E) نمایش داد که

V مجموعه واحدها و E مجموعه وزنهای شبکه میباشد. روشهای

1- Feed forward neural networks

2- Error backpropagation algorithm

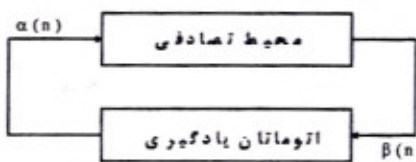
3- Topology

بغا در بخش‌های ۲ و ۴ بیان شده‌اند. نتایج آزمایشها برای مسائل مختلف در بخش ۵ آورده شده است و در پایان نتیجه گیری آمده است.

۲- اتماتانهای یادگیر

یادگیری در اتماتانهای یادگیر، انتخاب یک اقدام^۱ بهینه از میان یک مجموعه از اقدام‌های مجاز می‌باشد. این اقدام روی یک محیط تصادفی اعمال می‌شود و محیط به این اقدام اتماتان بوسیله یک پاسخ از مجموعه پاسخ‌های مجاز جواب میدهد. پاسخ محیط بصورت آماری به اقدام اتماتان وابسته است. اصطلاح محیط شامل اجتماع تمام شرایط خارجی و تاثیرات آنها روی عملکرد اتماتان می‌باشد.

یک محیط بصورت یک سه تایی ($\beta_1, \beta_2, \beta_3$) نشان داده می‌شود. مجموعه، $\alpha_i = \{a_1, \dots, a_n\}$ مجموعه ورودیها، مجموعه $\beta_i = \{\beta_1, \dots, \beta_m\}$ مجموعه احتمالات (β_i احتمال شکست اقدام a_i می‌باشد) و مجموعه $\Phi = \{\Phi_1, \Phi_2, \dots, \Phi_m\}$ خروجی دودوی محیط می‌باشد^۲. اتصال یک اتماتان با محیط در شکل ۱ نشان داده شده است.



شکل ۱: اتصال اتماتان یادگیری با محیط

اتوماتان‌های یادگیری به دو خانواده اتماتان یادگیری با ساختار ثابت^۳ و اتماتان یادگیری با ساختار متغیر^۴ دسته‌بندی می‌شوند. اتماتان‌های کرینسکی^۵ یا کرایلوف^۶ مثالهایی از خانواده اتماتان‌های با ساختار ثابت هستند. یک اتماتان یادگیری با ساختار ثابت را میتوان با یک پنج تایی ($\alpha_1, \alpha_2, \beta_1, \beta_2, \Phi$) نشان داد. $\alpha_i = \{a_1, a_2, \dots, a_n\}$ مجموعه اقدام‌های مجاز برای اتماتان یادگیر، $\beta_i = \{\beta_1, \beta_2, \dots, \beta_m\}$ مجموعه وضعیت‌های اتماتان، $\Phi = \{\Phi_1, \Phi_2, \dots, \Phi_m\}$ مجموعه ورودیها (در این مجموعه یک نمایانگر شکست^۷ و صفر نمایانگر موفقیت^۸ می‌باشد). $\Phi: \Phi \times \beta \rightarrow \Phi$

تابع نگاشت وضعیت‌ها $\alpha \rightarrow \Phi$: Φ تابع نگاشت خروجی می‌باشد. اقدام اتماتان بعنوان ورودی به محیط داده می‌شود و محیط بعد از اعمال اقدام داده شده توسط اتماتان یک پاسخ تصادفی که میتواند موفق یا نا موفق باشد را تولید می‌کند که بعنوان ورودی به اتماتان داده می‌شود. اتماتان با توجه به پاسخ محیط اقدام مربوطه را جریمه می‌کند و یا به آن پاداش میدهد. اگر احتمال تغییر وضعیت‌ها در اتماتان ثابت باشد آنرا اتماتان یادگیری با ساختار ثابت و در غیر اینصورت آنرا اتماتان یادگیری با ساختار متغیر مینامند.

اتوماتانهای یادگیر دارای کاربردهای فراوانی می‌باشد بعضی از این کاربردها عبارتند از: مسیر یابی در شبکه‌های ارتباطی^۹، فشرده سازی

بعضی دیگر از اطلاعات عمومی برای یافتن ساختار مناسب استفاده می‌کنند. این الگوریتم‌ها را میتوان به چهار گروه زیر تقسیم کرد.

(الف) الگوریتم‌های هرس^{۱۰}: این الگوریتم‌ها از یک شبکه بزرگ شروع نموده و پندریج در حین آموزش یا بعد از آن واحد‌ها یا وزنهای اضافی را از شبکه هرس می‌کنند. در این الگوریتم‌ها نیاز است که تعداد واحد‌های مخفی را در ابتدای آموزش مشخص نماییم. البته این مشکل حادی را ایجاد نمی‌کند زیرا کران بالا برای یک مسئله معین مشخص است^{۱۱}[۲۵][۴۰]. این الگوریتم‌ها هم از مزایای شبکه‌های بزرگ (بیجدیدگی آموزش کم و دوری از حداقل‌های محلی) و هم از مزایای شبکه‌های کوچک (قدرت تعمیم بالا) بهره می‌برند. در این الگوریتم‌ها برای دو وضعیت متوازنی ($V_1, E_1 = N_1$ و $V_2, E_2 = N_2$) دو شرط $V_2 \subseteq V_1$ و $E_2 \subseteq E_1$ برقرار می‌باشد^{۱۲}[۱۱][۱۲][۱۵]

(ب) الگوریتم‌های سازنده^{۱۳}: این الگوریتم‌ها با یک شبکه کوچک شروع به آموزش می‌کنند و پندریج در حین آموزش شبکه، واحد‌بالایه مخفی به شبکه افزوده می‌شود. این الگوریتم‌ها عموماً شبکه‌های کوچک‌کی تولید می‌کنند اما بیجدیدگی آموزش این شبکه‌ها عموماً بالا است^{۱۴}. در این الگوریتم‌ها برای دو وضعیت متوازنی ($V_1, E_1 = N_1$ و $V_2, E_2 = N_2$) دو شرط $V_2 \subseteq V_1$ و $E_2 \subseteq E_1$ برقرار می‌باشد^{۱۵}[۱۶][۱۷][۲۲][۲۳][۱۹]

(ج) الگوریتم‌های ترکیبی^{۱۶}: این گروه از الگوریتم‌ها، از ترکیبی از الگوریتم‌های سازنده و الگوریتم‌های هرس برای تعیین ساختار شبکه استفاده می‌کنند. در این الگوریتم‌ها برای رسیدن به شبکه مطلوب میتوان واحد‌بالایه را کم یا زیاد نمود^{۱۷}[۲۴]

(د) الگوریتم‌های تکاملی^{۱۸}: در این الگوریتم‌ها طراحی ساختار بهینه شبکه بصورت جستجو در فضای ساختارها در نظر گرفته می‌شود که هر نقطه از این فضای نماینده یک ساختار شبکه است. الگوریتم جستجو با استفاده از یک معیار کارایی مانند حداقل خطای سرعت آموزش و پیجدیدگی آموزش بدنی^{۱۹} بال مناسب‌ترین ساختار می‌باشد^{۲۰}[۲۱][۲۲][۲۳][۲۴]

برای اطلاعات بیشتر در مورد الگوریتم‌های فوق میتوانید به مرجع [۴] مراجعه نمایید.

در این مقاله روشنی بر اساس اتماتانهای یادگیر^{۲۱} برای تعیین ساختار نزدیک به بهینه شبکه عصبی سه لایه (ساختار با حداقل تعداد واحد‌های مخفی) پیشنهاد شده است. این روش آموزش را با یک شبکه بزرگ شروع می‌کند و اتماتان یادگیر با افزودن و کاستن واحد‌ها سعی در پیدا کردن ساختار مناسب برای شبکه را دارد. هر چند ممکن است این الگوریتم را در گروه الگوریتم‌های ترکیبی قرار داد زیرا واحد‌های مخفی هم هرس و هم اضافه می‌شوند اما هدف استفاده از الگوریتم‌های سازنده یا الگوریتم‌های هرس یا ترکیبی از آنها نیست بلکه تعیین ساختار شبکه بعنوان مسئله افزای^{۲۲} مجموعه تعریف شده است.

بخش‌های بعدی مقاله بصورت زیر سازماندهی شده است. مقدمه‌ای بر اتماتانهای یادگیر در بخش ۲ آمده است. اتماتان پیشنهادی و الگوریتم

6- Action

7- Fixed Structure Learning Automata (FSLA)

8- Variable Structure Learning Automata (VSLA)

9- Krinsky Automata

10- Krylov Automata

11- Unfavorable

12- Favorable

1- Pruning algorithms

2- Constructive algorithms

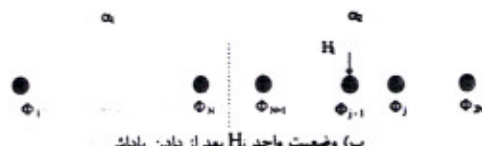
3- Evolutionary algorithms

4- Learning automata

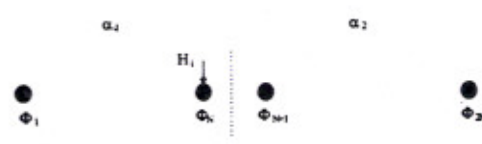
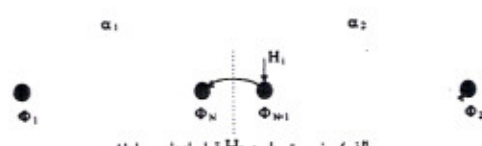
5- Partitioning

- مناسب میباشد. این اتوماتان بصورت یک شش تابی ($\Phi, \Psi, \Omega, E, F, G$) نشان داده میشود که در آن $\Phi = \{\Phi_1, \Phi_2, \dots, \Phi_{2N}\}$ مجموعه اقدام های مجاز برای اتوماتان یادگیر است. این اتوماتان دو خروجی دارد که خروجی شماره یک آن خروجی مناسب یا واحد های روش نام دارد. واحد هایی که در این خروجی قرار دارند برای آموزش شبکه عصبی مورد استفاده قرار میگیرند. خروجی شماره دو آن خروجی نامناسب یا واحد های خاموش نام دارد. واحد هایی که در این خروجی قرار میگیرند برای آموزش شبکه عصبی مورد استفاده قرار نمی گیرند.
- ۲- $H = \{H_1, H_2, \dots, H_n\}$ مجموعه واحدهای مخفی موجود در خروجی اتوماتان میباشد. اگر واحد H_i در خروجی شماره یک اتوماتان ظاهر شود این واحد بعنوان واحد مخفی مناسب (خاموش) درنظر گرفته میشود.
- ۳- $\Phi = \{\Phi_1, \Phi_2, \dots, \Phi_{2N}\}$ مجموعه وضعیت ها N عمق حافظه برای اتوماتان میباشد. مجموعه وضعیت های این اتوماتان به دو زیر مجموعه $\{\Phi_{(1, \dots, N)}, \Phi_{(N+1, \dots, 2N)}\}$ و $\{\Phi_N\}$ میشود و واحد های مخفی براساس اینکه در کدام وضعیت قرار داشته باشند دسته بندی میشوند. برای این اساس واحد های روش با مجموعه $ON = \{H_i | 1 \leq State(H_i) \leq N\}$ و واحد های خاموش با مجموعه $OFF = \{H_i | N+1 \leq State(H_i) \leq 2N\}$ نشان داده میشوند و (H_i) State نشاندهنده وضعیتی است که واحد H_i در آن قرار دارد.
- ۴- $\beta = \{0, 1\}$ مجموعه ورودیهای اتوماتان میباشد. در این مجموعه یک نمایانگر شکست و صفر نمایانگر موفقیت میباشد.
- ۵- $F: \Phi \times \beta \rightarrow \Phi$: F تابع نگاشت وضعیت ها میباشد. این تابع از روی وضعیت فعلی و ورودی اتوماتان وضعیت بعدی آنرا تولید می نماید. در واقع این تابع چگونگی گردش واحد های مخفی را در وضعیت های اتوماتان مشخص میکند. شرح کارکرد این تابع در قسمت بعد خواهد آمد.
- ۶- $G: \Phi \rightarrow \alpha$: G تابع نگاشت خروجی میباشد. این تابع تصمیم میگیرد که به ازای هر وضعیت، اتوماتان چه اتفاقی را انجام دهد. اگر واحد H_i متعلق به مجموعه وضعیت های $\{\Phi_1, \dots, \Phi_N\}$ باشد این واحد روش در نظر گرفته میشود. اگر واحد در وضعیت Φ قرار داشته باشد اینهیت را دارا میباشد. اگر در وضعیت Φ قرار داشته باشد دارای کمترین اهمیت میباشد. خروجی شماره دو نیز بهمین صورت میباشد. اگر واحد متعلق به مجموعه وضعیت های $\{\Phi_{N+1}, \dots, \Phi_{2N}\}$ باشد واحد را خاموش در نظر میگیریم. اگر واحد در وضعیت Φ_{N+1} قرار داشته باشد بیشترین اهمیت را دارد و اگر در وضعیت Φ_{2N} قرار داشته باشد دارای کمترین اهمیت میباشد.
- برای شرح تابع نگاشت وضعیت ها چهار حالت زیر را در نظر میگیریم.
- ۱- واحد مخفی H_i روش است و در وضعیت Φ قرار دارد و بدلیل عملکرد مناسب پاداش میگیرد. در اینصورت اهمیت این واحد بیشتر شده و بست و وضعیت های داخلی تر این اقدام حرکت میکند. نحوه حرکت چنین واحدی در شکل زیر نشان داده است.
- تصاویر [۸]، شناسایی الگو [۲۶]، برنامه ریزی فرایندها^۱ در یک شبکه کامپیوتی [۲۵]، تئوری صفت [۲۱]، کنترل دسترسی در شبکه های انتقال ناهمزن [۲۱]، کمک به آموزش شبکه های عصبی [۲۰] دسته بندی و افزایش اشیاء [۲۶].
- در صورتیکه از اتوماتنهای یادگیر برای دسته بندی یا افزایش اشیاء استفاده شوند علیرغم سرعت همگرایی خوب دارای تعداد خروجی های بسیار بالا خواهد بود[۲۶]، برای بایین آوردن تعداد خروجی ها، اتوماتان مهاجرت اشیاء^۲ توسط اولمن^۳ و ما^۴ پیشنهاد شده است[۲۶]. تعداد خروجی های این اتوماتان بمراتب کمتر از اتوماتنهای قبلی است ولی در عوض سرعت همگرایی آن پایین میباشد.
- اتوماتان مهاجرت اشیاء: اتوماتان مهاجرت اشیاء توسط پنج تابی Φ, Ψ, Ω, E, G نشان داده میشود[۲۶]
- $$\Phi = \{\Phi_1, \Phi_2, \dots, \Phi_{2N}\}$$
- $$\Psi = \{\Psi_1, \Psi_2, \dots, \Psi_{2N}\}$$
- $$\Omega = \{\Omega_1, \Omega_2, \dots, \Omega_{2N}\}$$
- $$E = \{E_1, E_2, \dots, E_{2N}\}$$
- $$G = \{G_1, G_2, \dots, G_{2N}\}$$
- مجموعه اقدام های مجاز، $\Omega = \{\Omega_1, \Omega_2, \dots, \Omega_{2N}\}$ تابع نگاشت خروجی های اتوماتان، $\Psi = \{\Psi_1, \Psi_2, \dots, \Psi_{2N}\}$ تابع $\Phi \times \Psi \rightarrow \Omega$: $\Phi \times \Psi \rightarrow \Omega$ تابع نگاشت خروجی میباشد. این نوع اتوماتان برای دسته بندی اشیاء [۲۶]، انتساب حروف به کلیدها [۲۷] و افزایش گراف^۵ [۲۸] مورد استفاده قرار گرفته است.
- در این اتوماتان هر اقدام یک دسته را نشان میدهد. در اتوماتانهای با ساختار ثابت پاسخ محیط به اتوماتان سبب میشود که اتوماتان از یک وضعیت به وضعیت دیگر منتقل شود در صورتیکه در اتوماتان مهاجرت اشیاء به وضعیت ها انتساب داده میشوند و پاسخ محیط به اتوماتان سبب گردش اشیاء در بین وضعیت های اتوماتان میگردد و از طریق این گردش دسته بندی اشیاء انجام میگیرد.
- اگر شی w_i در خروجی ز ام اتوماتان مهاجرت اشیاء قرار داشته باشد این شی متعلق به دسته شماره ز است. برای خروجی w_i مجموعه وضعیت $\{\Phi_{(1, \dots, N)}, \Phi_{(N+1, \dots, 2N)}\}$ در نظر گرفته میشود که اتوماتان N عمق حافظه را نشان میدهد. بدون از دست دادن عمومیت بحث میتوان $\Phi_{(1, \dots, N)}$ را داخلی ترین وضعیت و $\Phi_{(N+1, \dots, 2N)}$ را خارجی ترین وضعیت این خروجی در نظر گرفت. اگر دو شی w_i و w_j بترتیب در وضعیت های $\{\Phi_{(1, \dots, N)}, \Phi_{(N+1, \dots, 2N)}\}$ و $\{\Phi_{(N+1, \dots, 2N)}, \Phi_{(1, \dots, N)}\}$ دسته از قطعیت تعلق داشته باشند در اینصورت قطعیت تعلق شی w_i به این دسته از قطعیت تعلق شی w_j بیشتر است. بنابر این برای خروجی w_i وضعیت با بیشترین قطعیت و وضعیت $\Phi_{(N+1, \dots, 2N)}$ وضعیت با کمترین قطعیت نامیده میشود.
- ۳- اتوماتان یادگیر تعیین تعداد واحدهای لایه مخفی^۶
- در این قسمت یک اتوماتان از نوع مهاجرت اشیاء برای تعیین تعداد واحد های لایه مخفی یک شبکه سه لایه که توسط الگوریتم انتشار خطاب به عقب آموزش داده میشود معرفی میگردد. وظیفه این اتوماتان دسته بندی واحد های لایه مخفی به دو دسته واحد های مناسب و واحد های نا مناسب میباشد.

- 1- Process
- 2- Asynchronous transfer mode (ATM)
- 3- Object Migrating Automata (OMA)
- 4- Oommen
- 5- Ma
- 6- Graph Partitioning
- 7- Hidden unit learning automata (HULA)



شکل ۵: نحوه دادن پاداش به یک واحد خاموش برای یک وضعیت غیرمرزی



شکل ۶: نحوه دادن پاداش به یک واحد خاموش برای یک وضعیت مرزی

۴- واحد مخفی H_i خاموش است و در وضعیت ز Φ قرار دارد و بدلیل عملکرد نامناسب در گذشته جریمه می‌شود. در اینصورت اهمیت این واحد کمتر می‌شود و از واحد های روش دورتر می‌شود یعنی به وضعیت های داخلی تر اتوماتان منتقل می‌شود. نحوه حرکت چنین واحدی در شکل زیر نشان داده شده است.



شکل ۷: نحوه دادن جریمه به یک واحد خاموش

اگر واحد مخفی H_i در وضعیت Φ_{2N} قرار داشته باشد و جریمه شود در همان وضعیت باقی می‌ماند.

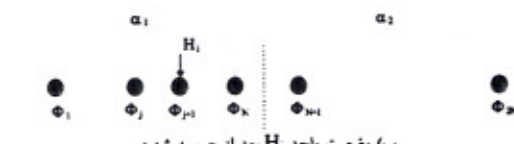
۴- الگوریتم تعیین تعداد واحد های لایه مخفی

در این قسمت الگوریتمی معروفی می‌شود که با استفاده از اتوماتان یا دگیر معرفی شده در قسمت قبل و الگوریتم انتشار خطای عقب، ساختار شبکه را در حین آموزش مشخص می‌کند. طرز کار این الگوریتم بصورت زیر است. در ابتدا همه واحد ها در مجموعه واحد های روش و در وضعیت Φ قرار می‌گیرند. به همه واحد های روش مدتی اجازه داده می‌شود تا در آموزش شبکه شرکت نمایند. واحد هایی که عملکرد آنها خوب بوده پاداش نبوده جریمه می‌شوند، واحد هایی که عملکرد آنها خوب نبوده پاداش می‌گیرند و واحد هایی که در مورد آنها نمی‌توان تصمیم گیری قطعی



اگر واحد مخفی H_i در وضعیت Φ قرار داشته باشد و پاداش بگیرد در همان وضعیت باقی می‌ماند.

۲- واحد H_i روش است و در وضعیت ز Φ قرار دارد و بدلیل عملکرد نامناسب جریمه می‌شود. در اینصورت از اهمیت این واحد کاسته شده و بسته وضعیت های بیرونی تر حرکت می‌کند. نحوه حرکت چنین واحدی برای دو حالت مختلف در شکل زیر نشان داده شده است.



شکل ۸: نحوه دادن جریمه به یک واحد روش برای یک وضعیت غیرمرزی



شکل ۹: نحوه دادن جریمه به یک واحد روش برای یک وضعیت مرزی

۳- واحد مخفی H_i خاموش است و در وضعیت ز Φ قرار دارد و بدلیل عملکرد خوبش در گذشته پاداش می‌گیرد. در اینصورت به اهمیت این واحد افزوده می‌شود و به واحد های روش نزدیکتر می‌شود یعنی به وضعیت های بیرونی تر منتقل می‌شود. نحوه حرکت چنین واحدی برای دو حالت مختلف در شکل زیر نشان داده شده است.



پهنای X_{ON} در شکل فوق بصورت زیر محاسبه می‌شود.

$$X_{ON} = \lambda_{ON} \frac{|ON| + |OFF|}{|ON|} \times \frac{\text{Max}(\sigma_{ON})}{\text{Min}(\sigma_{ON})}$$

در رابطه بالا ثابت λ_{ON} ضریب پهنای روشی نامیده می‌شود. $\text{Max}(\sigma_{ON})$ و $\text{Min}(\sigma_{ON})$ بترتیب بیشترین و کمترین مقدار واریانس فعالیت واحدهای روشی می‌باشند و بصورت زیر محاسبه می‌گردند.

$$\text{Max}(\sigma_{ON}) = \max_{I \in ON} \{\sigma_I\}, \quad \text{Min}(\sigma_{ON}) = \min_{I \in ON} \{\sigma_I\}$$

واحدهایی که مقدار واریانس فعالیت آنها از $M_{ON} - X_{ON}$ کمتر باشند جریمه می‌شوند. واحدهایی را که مقدار واریانس فعالیت آنها از $M_{ON} + X_{ON}$ بیشتر باشند پاداش می‌گیرند و واحدهایی که مقدار واریانس آنها در بازه $[M_{ON} - X_{ON}, M_{ON} + X_{ON}]$ قراردارند تغییری در وضعیت آنها ایجاد نمی‌شود.

تشخیص نوعه عملکرد یک واحد خاموش؛ واحدهایی که خاموش هستند، در آموزش شبکه شرکت نمی‌کنند بنابراین فعالیت واریانس فعالیت در مورد آن واحدهای معنا ندارد. در اینصورت از گذشته آن واحدهایی که روشی شدن وضعیت کنونی آنها استفاده می‌شود. فعالیت یک واحد خاموش برای یک الگو براساس آخرین مقدار فعالیت آن واحد در زمان روشی بودن برای آن الگو محاسبه می‌شود. اگر یک واحد برای مدت طولانی خاموش باشد از ارزش فعالیت آن کاسته می‌شود زیرا نقطه ای که هم اکنون روی سطح خطای محاسبه می‌شود به احتمال زیاد به نقطه جواب بسیار نزدیکتر از نقطه ایست که در زمان روشی بودن آن واحد محاسبه شده است. لذا فعالیت یک واحد خاموش بصورت زیر محاسبه می‌شود.

$$U_{IK}(n+1) = e^{-\lambda_d |U_{IK}(n)|}$$

در رابطه فوق ثابت λ_d ضریب کاهش فعالیت نامیده می‌شود و n شاخص زمان را نشان میدهد. به این ترتیب مقدار فعالیت یک واحد خاموش بتندرجیج کم می‌شود. واریانس واحدهای خاموش بصورت زیر محاسبه می‌شود

$$\sigma_I = \sqrt{\frac{\sum_{K=1}^P (U_{IK} - \mu_1)^2}{P}} \quad I \in OFF$$

که در آن U_{IK} مقدار فعالیت واحد خاموش شماره I به ازای الگوی شماره K و μ_1 نشانده‌نده میانگین فعالیت واحد خاموش است که بصورت زیر تعریف می‌شود.

$$\mu_1 = \frac{\sum_{K=1}^P U_{IK}}{P} \quad I \in OFF$$

مطابق شکل زیر، پس از محاسبه واریانس فعالیت واحدهای خاموش، واحدهای خاموشی که واریانس فعالیت آنها از یک مقدار آستانه ای کمتر باشند جریمه می‌شوند و واحدهای خاموشی که واریانس فعالیت آنها از مقدار آستانه ای دیگر بیشتر باشند پاداش می‌گیرند و واحدهایی که واریانس فعالیت آنها بین این دو مقدار آستانه ای قرار می‌گیرند تغییری در وضعیت وضعیت آنها ایجاد نمی‌شود.

نمود بدون تغیروضیت باقی می‌ماند. برای تشخیص خوب یا بد بودن عملکرد یک واحداز متوسط انرژی مصرف شده آن واحد استفاده می‌شود. چگونگی تغییر فعالیت یک واحد به ازای همه الگوهای آموختشی، انرژی مصرف شده یک واحد نامیده می‌شود و توسط دو قلتون مکائشه ای زیر بیان می‌شود.

عملکرد خوب یک واحد؛ واحدی را دارای عملکرد خوب می‌گوییم اگر به ازای همه الگوهای ورودی، مقدار فعالیت این واحد تغییرات زیادی داشته باشد. این بدان معنی است که اطلاعات مهمی در وزنهای این واحد ذخیره شده است.

عملکرد بد یک واحد؛ واحدی را دارای عملکرد بد می‌گوییم اگر به ازای همه الگوهای ورودی، مقدار فعالیت این واحد تغییرات کم داشته باشد. یعنی اطلاعات مهمی در وزنهای این واحد ذخیره نشده است.

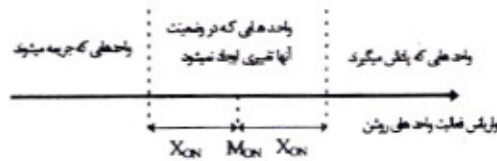
تشخیص نوعه عملکرد یک واحد روشی؛ واحدی را که مقدار فعالیت آن به ازای همه الگوهای آموختشی از یک مقدار آستانه ای کمتر باشد واحد بد و اگر مقدار فعالیت آن به ازای همه الگوهای آموختشی از یک مقدار آستانه ای دیگر بیشتر باشد واحد خوب مینما میم. برای تعیین مقدار آستانه ای ابتدا واریانس فعالیت واحد به ازای همه الگوهای آموختشی بصورت زیر محاسبه می‌شود

$$\sigma_I = \sqrt{\frac{\sum_{K=1}^P (U_{IK} - \mu_1)^2}{P}} \quad I \in ON$$

که در آن U_{IK} مقدار فعالیت واحد شماره I به ازای الگوی شماره K و μ_1 نشانده‌نده میانگین فعالیت واحد آن است که بصورت زیر تعریف می‌شود.

$$\mu_1 = \frac{\sum_{K=1}^P U_{IK}}{P} \quad I \in ON$$

مطابق شکل زیر، پس از محاسبه واریانس فعالیت واحدهای روشی، واحدهای روشی که واریانس فعالیت آنها از یک مقدار آستانه ای کمتر باشند جریمه می‌شوند و واحدهای روشی که واریانس فعالیت آنها از مقدار آستانه ای دیگر بیشتر باشند پاداش می‌گیرند و واحدهایی که واریانس فعالیت آنها بین این دو مقدار آستانه ای قرار می‌گیرند تغییری در وضعیت آنها ایجاد نمی‌شود.



شکل زیر تشخیص مقدار آستانه واحدهای روشی مقدار M_{ON} که عبارتست از میانگین واریانس واحدهای روشی بصورت زیر محاسبه می‌شود.

$$M_{ON} = \frac{\sum_{K \in ON} \mu_K}{|ON|}$$

Algorithm Survival

```

Input:
  Training Set (X, T)
  Maximum No. of Hidden Units: Hmax
output:
  Network Weight Vector: W
  Network Topology: Set of ON
repeat
  for m := 1 To K do
    call BP // After K steps hidden units are examined
  end for
  // Decrease the activation of off units
  for all l ∈ OFF do
    for k := 1 To P do
      Ulk := exp (-λoff |Ulk|)
    end for
  end for
  for l := 1 To Hmax do
    Compute σl
  end for
  Compute MON, MOFF, XOFF, XON
  // Move the hidden units among the automatas' states
  for l := 1 to Hmax do
    if l ∈ ON then
      if σl < (MON - XON) then
        call PenalizeOnUnit (l)
      end if
      if σl > (MON + XON) then
        call RewardOnUnit (l)
      end If
    end If
    if l ∈ OFF then
      if σl < (MOFF - XOFF) then
        call PenalizeOffUnit (l)
      end if
      if σl > (MOFF + XOFF) then
        call RewardOffUnit (l)
      end if
    end if
  end for
  until Termination Condition is Satisfied.
  return (W, ON)
end Algorithm

procedure PenalizeOnUnit (l)
  if State (l) < N then
    inc (State (l))
  else
    State (l) := 2 * N
  end if
end procedure

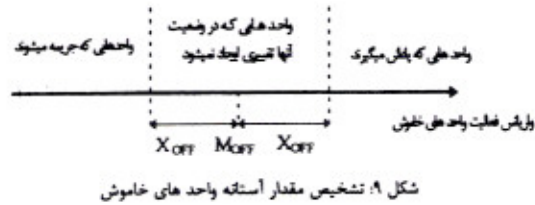
procedure RewardOnUnit (l)
  if State (l) > 1 then
    dec (State (l))
  end if
end procedure

procedure PenalizeOffUnit (l)
  if State (l) < 2 * N then
    inc (State (l))
  end if
end procedure

procedure RewardOffUnit (l)
  dec (State (l))
end procedure

```

شکل ۱۰: الگوریتم بقا



شکل ۹: تشخیص مقادیر آستانه واحد های خاموش

و مقدار M_{OFF} که عبارتست از میانگین واریانس واحد های خاموش و بصورت زیر محاسبه میشود.

$$M_{OFF} = \frac{\sum \mu_k}{|OFF|}$$

بهنای X_{OFF} در شکل فوق بصورت زیر محاسبه میشود.

$$X_{OFF} = \lambda_{OFF} \frac{|ON| + |OFF|}{|OFF|} \times \frac{\text{Max}(\sigma_{OFF})}{\text{Min}(\sigma_{OFF})}$$

در رابطه بالا ثابت λ_{OFF} ضریب بهنای خاموشی نامیده میشود. Min(σ_{OFF}) و Max(σ_{OFF}) بترتیب بیشترین و کمترین مقدار واریانس فعالیت واحد های خاموش هستند و بصورت زیر محاسبه میشوند.

$$\text{Max}(\sigma_{OFF}) = \text{Max}_{l \in OFF} \{\sigma_l\}, \quad \text{Min}(\sigma_{OFF}) = \text{Min}_{l \in OFF} \{\sigma_l\}$$

واحدهایی که مقدار واریانس فعالیت آنها از M_{OFF} - X_{OFF} کمتر باشد جریمه میشوند. واحدهایی را که مقدار واریانس فعالیت آنها از M_{OFF} + X_{OFF} بیشتر باشد پاداش میگیرند و واحد هایی که مقدار واریانس آنها در بازه [M_{OFF} - X_{OFF}, M_{OFF} + X_{OFF}] قرار دارد تغییری در وضعیت آنها داده نمی شود.

برای استفاده از مزایای در حین آموزش شبکه های بزرگ، در ابتدای آموزش شبکه حساسیت واحدها کم در نظر گرفته میشود تا رقبات بین واحد ها کمتر باشد و بیجیدگی آموزش کاهش یابد و شبکه برآختی بتواند از کمینه های محلی عبور نماید. این عمل با کوچک انتخاب نمودن شبیع تابع فعالیت انجام میشود. اما زمانیکه شبکه جواب تقریبی را تولید نمود حساسیت واحد ها را بتدربیح افزایش داده و رقبات بین واحدها زیاد میشود. این عمل با بزرگ انتخاب نمودن شبیع تابع فعالیت انجام دهد. برای اینکه الگوریتم بتواند تطبیق شبیع تابع فعالیت را برآختی انجام دهد مقدار شبیع تابع فعالیت بصورت زیر تنظیم میشود.

$$\gamma = e^{-\lambda_s \times MSE}$$

و ۲ شبیع تابع سیگمونید $\gamma = \frac{1}{1 + e^{-\lambda_s \times MSE}}$ ، به ضریب تغییر شبیع تابع فعالیت و MSE میانگین مربع خطای باشد.

زمانی که یک واحد از حالت خاموش به حالت روشن میرود برای تعیین مقادیر اولیه وزنهای این واحد دو روش وجود دارد. روش اول استفاده از مقادیر تصادفی برای وزنهای این واحد میباشد و روش دوم استفاده از وزنهایی است که در آخرین زمان روشن بودن محاسبه شده اند میباشد. البته این مقادیر نیز میتوانند بنوعی تصادفی تلقی شوند زیرا بعد از فضای وزنهای تغییر نموده است. در این مقاله از روش دوم برای تعیین مقادیر اولیه وزنهای استفاده شده است. الگوریتم بقا برای تعیین ساختار مناسب شبکه در شکل ۱۰ نشان داده شده است.



مرحله ششم: در این مرحله، واحد های ۴ و ۶ جریمه و بقیه واحد ها تغییر وضعیت نمیدهند. بعد از اتمام این مرحله وضعیت اوتوماتان بصورت زیر است.



مرحله هفتم: در این مرحله، واحد های ۲ و ۴ و ۶ جریمه و بقیه واحد ها تغییر وضعیت نمیدهند. بعد از اتمام این مرحله وضعیت اوتوماتان بصورت زیر است.



مرحله هشتم: در این مرحله، واحد ۵ جریمه و بقیه واحد ها تغییر وضعیت نمیدهند. بعد از اتمام این مرحله وضعیت اوتوماتان بصورت زیر است.



۵- نتایج شبیه سازی

برای نشان دادن کارایی های الگوریتم پیشنهاد شده، این الگوریتم روش پنج مسئله Parity سه بیتی، تشخیص اعداد لاتین، Encoding، تقارن و XOR که تعداد تقریبی واحد های مخفی برای آنها مشخص است آزمایش شده است. تعدادی از این آزمایشات در این بخش آورده شده است. برای تعاملی این مسائل از اوتوماتان (2, 7, 60) HULA (2, 6, 6) استفاده شده است. لازم بذکر است که برای آموزش شبکه ها از الگوریتم انتشار خطاب عقب استاندارد استفاده شده است.

۱- مسئله Parity سه بیتی: نشان داده شده است که برای تولید الگوهای n بیتی نیاز به n واحد مخفی میباشد [۲۹]. البته شبکه های با ساختار های دیگر میتوانند این مسئله را با دو واحد مخفی حل نمایند [۲۲]. الگوریتم بقاروی ۲۰ شبکه با وزنهای اولیه تصادفی برای این مسئله آزمایش شده است و نتایج آن در جدول زیر آمده است. لازم بذکر است که در تعاملی موارد آزمایش شده، الگوریتم قادر به آموزش شبکه بوده است. شکل های ۱۱ و ۱۲ منحنی تغییرات تعداد واحد های مخفی و میانگین مرتب خطا براساس تکرار ارائه الگو (Epoch) به شبکه برای یک شبیه سازی نمونه را نشان میدهند.

مثالی از عملکرد اوتوماتان یادگیر تعیین تعداد واحد های مخفی: برای روش تر شدن نحوه کارکرد این اوتوماتان مثالی در زیر آورده شده است. در این مثال از اوتوماتان (2, 6, 6) HULA با ضرائب $\lambda_{ON} = 0.05$ و $\lambda_{OFF} = 0.01$ استفاده شده است. واریانس فعالیت واحد های مخفی و نحوه کارکرد اوتوماتان در هشت مرحله درجدول زیر آمده شده است.

جدول ۱: واریانس فعالیت واحد ها

| Xoff | پهنا | | میانگین | واریانس فعالیت واحد ها | | | | | | |
|------|-------|-------|---------|------------------------|-------|-------|-------|-------|------|-------|
| | Xon | Moff | | ۶ | ۵ | ۴ | ۳ | ۲ | ۱ | |
| - | -۰/۲ | - | -۰/۲۲ | -۰/۸ | -۰/۸ | -۰/۲ | -۰/۲ | -۰/۲ | -۰/۲ | -۰/۲ |
| - | -۰/۱۵ | - | -۰/۲۸ | -۰/۶ | -۰/۶ | -۰/۲ | -۰/۲ | -۰/۲ | -۰/۲ | -۰/۲ |
| - | -۰/۰۷ | - | -۰/۲۵ | -۰/۲ | -۰/۲ | -۰/۲ | -۰/۲ | -۰/۲ | -۰/۲ | -۰/۲ |
| - | -۰/۱۷ | - | -۰/۲۲ | -۰/۲۵ | -۰/۲۵ | -۰/۲ | -۰/۲ | -۰/۲ | -۰/۲ | -۰/۱۵ |
| -۰/۶ | -۰/۲۱ | -۰/۱۵ | -۰/۵۲ | -۰/۲ | -۰/۲ | -۰/۲ | -۰/۱۵ | -۰/۲ | -۰/۲ | -۰/۲ |
| -۰/۶ | -۰/۱۷ | -۰/۱۲ | -۰/۲۲ | -۰/۲۵ | -۰/۲ | -۰/۲۵ | -۰/۱۲ | -۰/۲۵ | -۰/۲ | -۰/۲ |
| -۰/۶ | -۰/۱۲ | -۰/۱۵ | -۰/۵۲ | -۰/۲ | -۰/۲ | -۰/۲ | -۰/۱ | -۰/۲ | -۰/۲ | -۰/۲ |

مرحله اول: در ابتدای آموزش، همه واحد های مخفی در وضعیت ۱ قرار میگیرند. در این مرحله وضعیت اوتوماتان بصورت زیر است.



مرحله دوم: در این مرحله، واحد ۳ جریمه میشود و واحد ۶ پاداش میگیرد و بقیه واحد های تغییر وضعیت نمیدهند. بعد از اتمام این مرحله وضعیت اوتوماتان بصورت زیر است.



مرحله سوم: در این مرحله، واحد های ۳ و ۴ جریمه میشوند و واحد ۶ پاداش میگیرد و بقیه واحد های تغییر وضعیت نمیدهند. بعد از اتمام این مرحله وضعیت اوتوماتان بصورت زیر است.

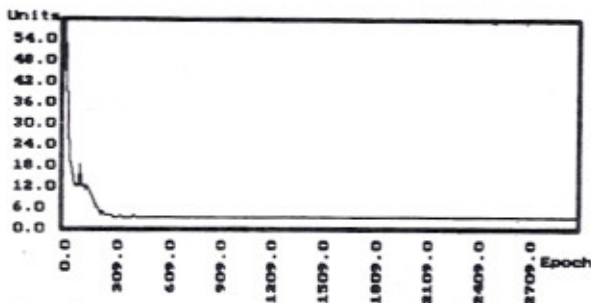


مرحله چهارم: در این مرحله اوتوماتان تغییر وضعیت نمیدهد. مرحله پنجم: در این مرحله، واحد های ۳ و ۶ جریمه میشوند و واحد ۴ پاداش میگیرد و بقیه واحد های تغییر وضعیت نمیدهند. بعد از اتمام این مرحله وضعیت اوتوماتان بصورت زیر است.

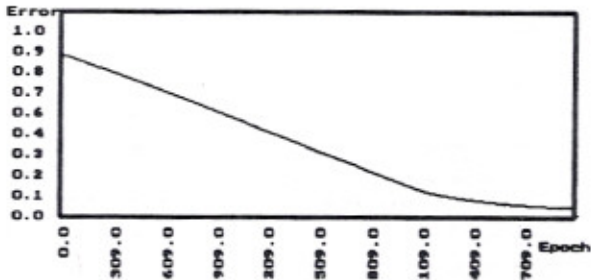
مخفي و ميلگين مرتع خطابرايسن تكرار ارنه الگو (Epoch) به شبکه با استفاده از (2, 7, 50) HULA برای يك شبکه سازی نمونه را نشان میدهد.

جدول ۲: نتایج شبکه سازی برای مسئله Parity به بینی

| درصد تشخیص | متوجه مرتع خطاب | تعداد واحدهای مخفی | شبکه |
|------------|-----------------|--------------------|------|
| ۹۰ | ۰/۰۹۹۷ | ۵ | ۱ |
| ۹۰ | ۰/۰۹۹۶ | ۵ | ۲ |
| ۹۰ | ۰/۰۹۸۵ | ۵ | ۳ |
| ۹۰ | ۰/۰۹۸۳ | ۵ | ۴ |
| ۹۰ | ۰/۰۹۹۸ | ۵ | ۵ |
| ۹۰ | ۰/۰۹۹۷ | ۵ | ۶ |
| ۹۰ | ۰/۰۹۸۱ | ۵ | ۷ |
| ۹۰ | ۰/۰۹۹۸ | ۵ | ۸ |
| ۹۰ | ۰/۰۹۹۱ | ۵ | ۹ |
| ۹۰ | ۰/۰۹۹۷ | ۵ | ۱۰ |
| ۹۰ | ۰/۰۹۸۰ | ۵ | ۱۱ |
| ۹۰ | ۰/۰۹۹۰ | ۵ | ۱۲ |
| ۹۰ | ۰/۰۹۸۰ | ۵ | ۱۳ |
| ۹۰ | ۰/۰۹۹۸ | ۵ | ۱۴ |
| ۹۰ | ۰/۰۹۹۵ | ۵ | ۱۵ |
| ۹۰ | ۰/۰۹۹۷ | ۵ | ۱۶ |
| ۹۰ | ۰/۰۹۹۷ | ۴ | ۱۷ |
| ۹۰ | ۰/۰۹۸۷ | ۵ | ۱۸ |
| ۹۰ | ۰/۰۹۹۷ | ۴ | ۱۹ |
| ۹۰ | ۰/۰۹۸۷ | ۵ | ۲۰ |
| ۹۰ | ۰/۰۹۸۰ | ۵ | ۲۱ |
| ۹۰ | ۰/۰۹۸۰ | ۵ | ۲۲ |
| ۹۰ | ۰/۰۹۸۰ | ۵ | ۲۳ |
| ۹۰ | ۰/۰۹۸۰ | ۵ | ۲۴ |
| ۹۰ | ۰/۰۹۸۰ | ۵ | ۲۵ |
| ۹۰ | ۰/۰۹۸۰ | ۵ | ۲۶ |
| ۹۰ | ۰/۰۹۸۰ | ۵ | ۲۷ |
| ۹۰ | ۰/۰۹۸۰ | ۵ | ۲۸ |
| ۹۰ | ۰/۰۹۸۰ | ۵ | ۲۹ |
| ۹۰ | ۰/۰۹۸۰ | ۵ | ۳۰ |
| ۹۰ | ۰/۰۹۸۰ | ۵ | ۳۱ |
| ۹۰ | ۰/۰۹۸۰ | ۵ | ۳۲ |
| ۹۰ | ۰/۰۹۸۰ | ۵ | ۳۳ |
| ۹۰ | ۰/۰۹۸۰ | ۵ | ۳۴ |
| ۹۰ | ۰/۰۹۸۰ | ۵ | ۳۵ |
| ۹۰ | ۰/۰۹۸۰ | ۵ | ۳۶ |
| ۹۰ | ۰/۰۹۸۰ | ۵ | ۳۷ |
| ۹۰ | ۰/۰۹۸۰ | ۵ | ۳۸ |
| ۹۰ | ۰/۰۹۸۰ | ۵ | ۳۹ |
| ۹۰ | ۰/۰۹۸۰ | ۵ | ۴۰ |
| ۹۰ | ۰/۰۹۸۰ | ۵ | ۴۱ |
| ۹۰ | ۰/۰۹۸۰ | ۵ | ۴۲ |
| ۹۰ | ۰/۰۹۸۰ | ۵ | ۴۳ |
| ۹۰ | ۰/۰۹۸۰ | ۵ | ۴۴ |
| ۹۰ | ۰/۰۹۸۰ | ۵ | ۴۵ |
| ۹۰ | ۰/۰۹۸۰ | ۵ | ۴۶ |
| ۹۰ | ۰/۰۹۸۰ | ۵ | ۴۷ |
| ۹۰ | ۰/۰۹۸۰ | ۵ | ۴۸ |
| ۹۰ | ۰/۰۹۸۰ | ۵ | ۴۹ |
| ۹۰ | ۰/۰۹۸۰ | ۵ | ۵۰ |
| ۹۰ | ۰/۰۹۸۰ | ۵ | ۵۱ |
| ۹۰ | ۰/۰۹۸۰ | ۵ | ۵۲ |
| ۹۰ | ۰/۰۹۸۰ | ۵ | ۵۳ |
| ۹۰ | ۰/۰۹۸۰ | ۵ | ۵۴ |
| ۹۰ | ۰/۰۹۸۰ | ۵ | ۵۵ |
| ۹۰ | ۰/۰۹۸۰ | ۵ | ۵۶ |
| ۹۰ | ۰/۰۹۸۰ | ۵ | ۵۷ |
| ۹۰ | ۰/۰۹۸۰ | ۵ | ۵۸ |
| ۹۰ | ۰/۰۹۸۰ | ۵ | ۵۹ |
| ۹۰ | ۰/۰۹۸۰ | ۵ | ۶۰ |
| ۹۰ | ۰/۰۹۸۰ | ۵ | ۶۱ |
| ۹۰ | ۰/۰۹۸۰ | ۵ | ۶۲ |
| ۹۰ | ۰/۰۹۸۰ | ۵ | ۶۳ |
| ۹۰ | ۰/۰۹۸۰ | ۵ | ۶۴ |
| ۹۰ | ۰/۰۹۸۰ | ۵ | ۶۵ |
| ۹۰ | ۰/۰۹۸۰ | ۵ | ۶۶ |
| ۹۰ | ۰/۰۹۸۰ | ۵ | ۶۷ |
| ۹۰ | ۰/۰۹۸۰ | ۵ | ۶۸ |
| ۹۰ | ۰/۰۹۸۰ | ۵ | ۶۹ |
| ۹۰ | ۰/۰۹۸۰ | ۵ | ۷۰ |
| ۹۰ | ۰/۰۹۸۰ | ۵ | ۷۱ |
| ۹۰ | ۰/۰۹۸۰ | ۵ | ۷۲ |
| ۹۰ | ۰/۰۹۸۰ | ۵ | ۷۳ |
| ۹۰ | ۰/۰۹۸۰ | ۵ | ۷۴ |
| ۹۰ | ۰/۰۹۸۰ | ۵ | ۷۵ |
| ۹۰ | ۰/۰۹۸۰ | ۵ | ۷۶ |
| ۹۰ | ۰/۰۹۸۰ | ۵ | ۷۷ |
| ۹۰ | ۰/۰۹۸۰ | ۵ | ۷۸ |
| ۹۰ | ۰/۰۹۸۰ | ۵ | ۷۹ |
| ۹۰ | ۰/۰۹۸۰ | ۵ | ۸۰ |
| ۹۰ | ۰/۰۹۸۰ | ۵ | ۸۱ |
| ۹۰ | ۰/۰۹۸۰ | ۵ | ۸۲ |
| ۹۰ | ۰/۰۹۸۰ | ۵ | ۸۳ |
| ۹۰ | ۰/۰۹۸۰ | ۵ | ۸۴ |
| ۹۰ | ۰/۰۹۸۰ | ۵ | ۸۵ |
| ۹۰ | ۰/۰۹۸۰ | ۵ | ۸۶ |
| ۹۰ | ۰/۰۹۸۰ | ۵ | ۸۷ |
| ۹۰ | ۰/۰۹۸۰ | ۵ | ۸۸ |
| ۹۰ | ۰/۰۹۸۰ | ۵ | ۸۹ |
| ۹۰ | ۰/۰۹۸۰ | ۵ | ۹۰ |
| ۹۰ | ۰/۰۹۸۰ | ۵ | ۹۱ |
| ۹۰ | ۰/۰۹۸۰ | ۵ | ۹۲ |
| ۹۰ | ۰/۰۹۸۰ | ۵ | ۹۳ |
| ۹۰ | ۰/۰۹۸۰ | ۵ | ۹۴ |
| ۹۰ | ۰/۰۹۸۰ | ۵ | ۹۵ |
| ۹۰ | ۰/۰۹۸۰ | ۵ | ۹۶ |
| ۹۰ | ۰/۰۹۸۰ | ۵ | ۹۷ |
| ۹۰ | ۰/۰۹۸۰ | ۵ | ۹۸ |
| ۹۰ | ۰/۰۹۸۰ | ۵ | ۹۹ |
| ۹۰ | ۰/۰۹۸۰ | ۵ | ۱۰۰ |
| ۹۰ | ۰/۰۹۸۰ | ۵ | ۱۰۱ |
| ۹۰ | ۰/۰۹۸۰ | ۵ | ۱۰۲ |
| ۹۰ | ۰/۰۹۸۰ | ۵ | ۱۰۳ |
| ۹۰ | ۰/۰۹۸۰ | ۵ | ۱۰۴ |
| ۹۰ | ۰/۰۹۸۰ | ۵ | ۱۰۵ |
| ۹۰ | ۰/۰۹۸۰ | ۵ | ۱۰۶ |
| ۹۰ | ۰/۰۹۸۰ | ۵ | ۱۰۷ |
| ۹۰ | ۰/۰۹۸۰ | ۵ | ۱۰۸ |
| ۹۰ | ۰/۰۹۸۰ | ۵ | ۱۰۹ |
| ۹۰ | ۰/۰۹۸۰ | ۵ | ۱۱۰ |
| ۹۰ | ۰/۰۹۸۰ | ۵ | ۱۱۱ |
| ۹۰ | ۰/۰۹۸۰ | ۵ | ۱۱۲ |
| ۹۰ | ۰/۰۹۸۰ | ۵ | ۱۱۳ |
| ۹۰ | ۰/۰۹۸۰ | ۵ | ۱۱۴ |
| ۹۰ | ۰/۰۹۸۰ | ۵ | ۱۱۵ |
| ۹۰ | ۰/۰۹۸۰ | ۵ | ۱۱۶ |
| ۹۰ | ۰/۰۹۸۰ | ۵ | ۱۱۷ |
| ۹۰ | ۰/۰۹۸۰ | ۵ | ۱۱۸ |
| ۹۰ | ۰/۰۹۸۰ | ۵ | ۱۱۹ |
| ۹۰ | ۰/۰۹۸۰ | ۵ | ۱۲۰ |
| ۹۰ | ۰/۰۹۸۰ | ۵ | ۱۲۱ |
| ۹۰ | ۰/۰۹۸۰ | ۵ | ۱۲۲ |
| ۹۰ | ۰/۰۹۸۰ | ۵ | ۱۲۳ |
| ۹۰ | ۰/۰۹۸۰ | ۵ | ۱۲۴ |
| ۹۰ | ۰/۰۹۸۰ | ۵ | ۱۲۵ |
| ۹۰ | ۰/۰۹۸۰ | ۵ | ۱۲۶ |
| ۹۰ | ۰/۰۹۸۰ | ۵ | ۱۲۷ |
| ۹۰ | ۰/۰۹۸۰ | ۵ | ۱۲۸ |
| ۹۰ | ۰/۰۹۸۰ | ۵ | ۱۲۹ |
| ۹۰ | ۰/۰۹۸۰ | ۵ | ۱۳۰ |
| ۹۰ | ۰/۰۹۸۰ | ۵ | ۱۳۱ |
| ۹۰ | ۰/۰۹۸۰ | ۵ | ۱۳۲ |
| ۹۰ | ۰/۰۹۸۰ | ۵ | ۱۳۳ |
| ۹۰ | ۰/۰۹۸۰ | ۵ | ۱۳۴ |
| ۹۰ | ۰/۰۹۸۰ | ۵ | ۱۳۵ |
| ۹۰ | ۰/۰۹۸۰ | ۵ | ۱۳۶ |
| ۹۰ | ۰/۰۹۸۰ | ۵ | ۱۳۷ |
| ۹۰ | ۰/۰۹۸۰ | ۵ | ۱۳۸ |
| ۹۰ | ۰/۰۹۸۰ | ۵ | ۱۳۹ |
| ۹۰ | ۰/۰۹۸۰ | ۵ | ۱۴۰ |
| ۹۰ | ۰/۰۹۸۰ | ۵ | ۱۴۱ |
| ۹۰ | ۰/۰۹۸۰ | ۵ | ۱۴۲ |
| ۹۰ | ۰/۰۹۸۰ | ۵ | ۱۴۳ |
| ۹۰ | ۰/۰۹۸۰ | ۵ | ۱۴۴ |
| ۹۰ | ۰/۰۹۸۰ | ۵ | ۱۴۵ |
| ۹۰ | ۰/۰۹۸۰ | ۵ | ۱۴۶ |
| ۹۰ | ۰/۰۹۸۰ | ۵ | ۱۴۷ |
| ۹۰ | ۰/۰۹۸۰ | ۵ | ۱۴۸ |
| ۹۰ | ۰/۰۹۸۰ | ۵ | ۱۴۹ |
| ۹۰ | ۰/۰۹۸۰ | ۵ | ۱۵۰ |
| ۹۰ | ۰/۰۹۸۰ | ۵ | ۱۵۱ |
| ۹۰ | ۰/۰۹۸۰ | ۵ | ۱۵۲ |
| ۹۰ | ۰/۰۹۸۰ | ۵ | ۱۵۳ |
| ۹۰ | ۰/۰۹۸۰ | ۵ | ۱۵۴ |
| ۹۰ | ۰/۰۹۸۰ | ۵ | ۱۵۵ |
| ۹۰ | ۰/۰۹۸۰ | ۵ | ۱۵۶ |
| ۹۰ | ۰/۰۹۸۰ | ۵ | ۱۵۷ |
| ۹۰ | ۰/۰۹۸۰ | ۵ | ۱۵۸ |
| ۹۰ | ۰/۰۹۸۰ | ۵ | ۱۵۹ |
| ۹۰ | ۰/۰۹۸۰ | ۵ | ۱۶۰ |
| ۹۰ | ۰/۰۹۸۰ | ۵ | ۱۶۱ |
| ۹۰ | ۰/۰۹۸۰ | ۵ | ۱۶۲ |
| ۹۰ | ۰/۰۹۸۰ | ۵ | ۱۶۳ |
| ۹۰ | ۰/۰۹۸۰ | ۵ | ۱۶۴ |
| ۹۰ | ۰/۰۹۸۰ | ۵ | ۱۶۵ |
| ۹۰ | ۰/۰۹۸۰ | ۵ | ۱۶۶ |
| ۹۰ | ۰/۰۹۸۰ | ۵ | ۱۶۷ |
| ۹۰ | ۰/۰۹۸۰ | ۵ | ۱۶۸ |
| ۹۰ | ۰/۰۹۸۰ | ۵ | ۱۶۹ |
| ۹۰ | ۰/۰۹۸۰ | ۵ | ۱۷۰ |
| ۹۰ | ۰/۰۹۸۰ | ۵ | ۱۷۱ |
| ۹۰ | ۰/۰۹۸۰ | ۵ | ۱۷۲ |
| ۹۰ | ۰/۰۹۸۰ | ۵ | ۱۷۳ |
| ۹۰ | ۰/۰۹۸۰ | ۵ | ۱۷۴ |
| ۹۰ | ۰/۰۹۸۰ | ۵ | ۱۷۵ |
| ۹۰ | ۰/۰۹۸۰ | ۵ | ۱۷۶ |
| ۹۰ | ۰/۰۹۸۰ | ۵ | ۱۷۷ |
| ۹۰ | ۰/۰۹۸۰ | ۵ | ۱۷۸ |
| ۹۰ | ۰/۰۹۸۰ | ۵ | ۱۷۹ |
| ۹۰ | ۰/۰۹۸۰ | ۵ | ۱۸۰ |
| ۹۰ | ۰/۰۹۸۰ | ۵ | ۱۸۱ |
| ۹۰ | ۰/۰۹۸۰ | ۵ | ۱۸۲ |
| ۹۰ | ۰/۰۹۸۰ | ۵ | ۱۸۳ |
| ۹۰ | ۰/۰۹۸۰ | ۵ | ۱۸۴ |
| ۹۰ | ۰/۰۹۸۰ | ۵ | ۱۸۵ |
| ۹۰ | ۰/۰۹۸۰ | ۵ | ۱۸۶ |
| ۹۰ | ۰/۰۹۸۰ | ۵ | ۱۸۷ |
| ۹۰ | ۰/۰۹۸۰ | ۵ | ۱۸۸ |
| ۹۰ | ۰/۰۹۸۰ | ۵ | ۱۸۹ |
| ۹۰ | ۰/۰۹۸۰ | ۵ | ۱۹۰ |
| ۹۰ | ۰/۰۹۸۰ | ۵ | ۱۹۱ |
| ۹۰ | ۰/۰۹۸۰ | ۵ | ۱۹۲ |
| ۹۰ | ۰/۰۹۸۰ | ۵ | ۱۹۳ |
| ۹۰ | ۰/۰۹۸۰ | ۵ | ۱۹۴ |
| ۹۰ | ۰/۰۹۸۰ | ۵ | ۱۹۵ |
| ۹۰ | ۰/۰۹۸۰ | ۵ | ۱۹۶ |
| ۹۰ | ۰/۰۹۸۰ | ۵ | ۱۹۷ |
| ۹۰ | ۰/۰۹۸۰ | ۵ | ۱۹۸ |
| ۹۰ | ۰/۰۹۸۰ | ۵ | ۱۹۹ |
| ۹۰ | ۰/۰۹۸۰ | ۵ | ۲۰۰ |
| ۹۰ | ۰/۰۹۸۰ | ۵ | ۲۰۱ |
| ۹۰ | ۰/۰۹۸۰ | ۵ | ۲۰۲ |
| ۹۰ | ۰/۰۹۸۰ | ۵ | ۲۰۳ |
| ۹۰ | ۰/۰۹۸۰ | ۵ | ۲۰۴ |
| ۹۰ | ۰/۰۹۸۰ | ۵ | ۲۰۵ |
| ۹۰ | ۰/۰۹۸۰ | ۵ | ۲۰۶ |
| ۹۰ | ۰/۰۹۸۰ | ۵ | ۲۰۷ |
| ۹۰ | ۰/۰۹۸۰ | ۵ | ۲۰۸ |
| ۹۰ | ۰/۰۹۸۰ | ۵ | ۲۰۹ |
| ۹۰ | ۰/۰۹۸۰ | ۵ | ۲۱۰ |
| ۹۰ | ۰/۰۹۸۰ | ۵ | ۲۱۱ |
| ۹۰ | ۰/۰۹۸۰ | ۵ | ۲۱۲ |
| ۹۰ | ۰/۰۹۸۰ | ۵ | ۲۱۳ |
| ۹۰ | ۰/۰۹۸۰ | ۵ | ۲۱۴ |
| ۹۰ | ۰/۰۹۸۰ | ۵ | ۲۱۵ |
| ۹۰ | ۰/۰۹۸۰ | ۵ | ۲۱۶ |
| ۹۰ | ۰/۰۹۸۰ | ۵ | ۲۱۷ |
| ۹۰ | ۰/۰۹۸۰ | ۵ | ۲۱۸ |
| ۹۰ | ۰/۰۹۸۰ | ۵ | ۲۱۹ |
| ۹۰ | ۰/۰۹۸۰ | ۵ | ۲۲۰ |
| ۹۰ | ۰/۰۹۸۰ | ۵ | ۲۲۱ |
| ۹۰ | ۰/۰۹۸۰ | ۵ | ۲۲۲ |
| ۹۰ | ۰/۰۹۸۰ | ۵ | ۲۲۳ |
| ۹۰ | ۰/۰۹۸۰ | ۵ | ۲۲۴ |
| ۹۰ | ۰/۰۹۸۰ | ۵ | ۲۲۵ |
| ۹۰ | ۰/۰۹۸۰ | ۵ | ۲۲۶ |
| ۹۰ | ۰/۰۹۸۰ | ۵ | ۲۲۷ |
| ۹۰ | ۰/۰۹۸۰ | ۵ | ۲۲۸ |
| | | | |



شکل ۱۶: معنی تغییرات تعداد واحد های مخفی بر اساس تکرار ارائه الگو (Encoding)



شکل ۱۷: معنی میانگین مربع خطای تغییرات تعداد واحد های مخفی بر اساس تکرار ارائه الگو (Encoding)

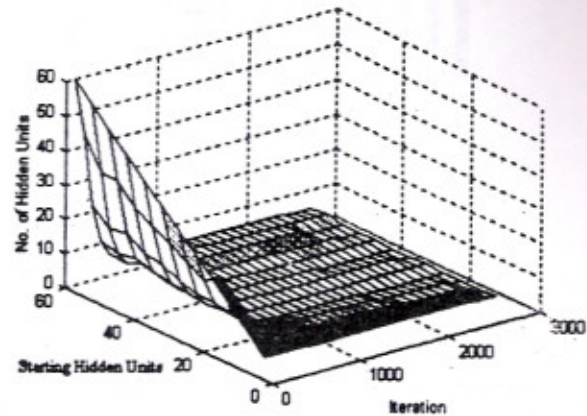
۴- مسئله XOR: برای پیاده سازی اینتابع توسط شبکه سه لایه، حداقل به دو واحد نیاز میباشد [۲۹]. الگوریتم پیشنهادی روی ۱۷۰ شبکه با وزنهای اولیه تصادفی آزمایش شده است و نتایج آن در جدول زیر آورده شده است.

جدول ۵: نتایج شبیه سازی برای مسئله XOR

| درصد تشخیص | متوسط مربع خطای مخفی | تعداد واحد های مخفی | شبکه |
|------------|----------------------|---------------------|---------|
| ۱۰۰ | -۰.۲۲۵۸ | ۲ | ۱۱-۱ |
| ۱۰۰ | -۰.۲۱۴۴ | ۲ | ۹۱-۲۲ |
| ۱۰۰ | -۰.۰۰۹۹ | ۴ | ۱۰۰-۱۰۰ |
| ۱۰۰ | -۰.۰۰۹۸۷ | ۵ | ۱۱۱-۱۱۰ |
| ۱۰۰ | -۰.۰۰۹۸ | ۶ | ۱۷۸-۱۷۷ |
| ۱۰۰ | -۰.۰۰۹۹ | ۷ | ۱۷۷-۱۷۹ |
| ۱۰۰ | -۰.۰۰۹۹۵ | ۸ | ۱۷۵-۱۷۷ |
| ۱۰۰ | -۰.۰۰۹۷۷ | ۹ | ۱۷۸-۱۷۶ |
| ۱۰۰ | -۰.۰۰۹۸۵ | ۱۰ | ۱۹۱-۱۷۹ |
| ۱۰۰ | -۰.۰۰۹۸۵ | ۱۱ | ۱۹۹-۱۹۷ |
| ۱۰۰ | -۰.۰۰۹۸۵ | ۱۲ | ۱۹۵ |
| ۱۰۰ | -۰.۰۰۹۷۶ | ۱۳ | ۱۹۰ |
| متوسط | | | |

از بین ۱۷۰ شبکه آزمایش شده، این الگوریتم قادر به آموزش ۲۵ شبکه نبوده است. تعداد واحد های مخفی درصد تشخیص آنها برای مواردی که الگوریتم همگرا شده است توسط هیستوگرام شکل ۱۸ داده شده است. برای این مسئله ۱۵/۲ درصد از شبکه های دو واحد مخفی (مقدار بهینه)، ۴۷/۶، ۸۳ درصد به سه واحد، ۱۲ درصد به چهار واحد، ۰/۳ درصد به پنج واحد و کمتر از ۱۲ درصد به بیشتر از پنج واحد همگرا میشوند.

طلب است که تعداد واحد های تعیین شده توسط الگوریتم مستقل از تعداد واحد هایی است که در شروع آموزش شبکه در نظر گرفته میشود. هر چند ساختار های تولید شده اختلاف جزئی با هم دارند اما همه بسیار نزدیک به مقدار بهینه هستند. هر نقطه از این شکل متوسط ۱۰ اجرای مختلف میباشد.



شکل ۱۸: معنی تعداد واحد های مخفی تعیین شده بر اساس تعداد واحد های اولیه

۳- مسئله Encoding: مسئله Encoding برای بردارهای n بیتی ورودی، نیاز به $\log_2 n$ واحد مخفی دارد [۲۹]. این الگوریتم روی ۲۰ شبکه با وزنهای اولیه تصادفی برای بردارهای مشت بیتی ورودی آزمایش شده اند و نتایج آن در جدول زیر نشان داده شده است. در تمامی موارد آزمایش شده، الگوریتم قادر به آموزش شبکه بوده است. شکل های ۱۶ و ۱۷ منعی تغییرات تعداد واحد های مخفی و میانگین مربع خطای براساس تکرار ارائه الگو (Epoch) به شبکه برای یک شبیه سازی نمونه را نشان میدهند.

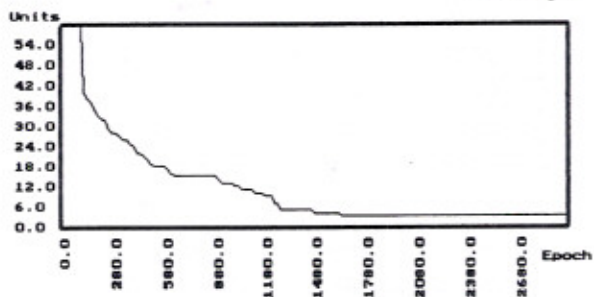
جدول ۶: نتایج شبیه سازی برای مسئله Encoding

| درصد تشخیص | متوسط مربع خطای مخفی | تعداد واحد های مخفی | شبکه |
|------------|----------------------|---------------------|------|
| ۱۰۰ | -۰.۰۲۱۹۳ | ۲ | ۱ |
| ۱۰۰ | -۰.۰۰۹۹۸ | ۲ | ۲ |
| ۱۰۰ | -۰.۰۵۷۰۵ | ۴ | ۳ |
| ۱۰۰ | -۰.۰۰۹۹۳ | ۴ | ۴ |
| ۱۰۰ | -۰.۰۰۹۹۶ | ۴ | ۵ |
| ۱۰۰ | -۰.۰۰۹۹۵ | ۴ | ۶ |
| ۱۰۰ | -۰.۰۲۱۹۰ | ۴ | ۷ |
| ۱۰۰ | -۰.۰۰۹۹۶ | ۴ | ۸ |
| ۱۰۰ | -۰.۰۰۹۹۸ | ۴ | ۹ |
| ۱۰۰ | -۰.۰۰۹۹۹ | ۴ | ۱۰ |
| ۱۰۰ | -۰.۰۰۹۹۹ | ۴ | ۱۱ |
| ۱۰۰ | -۰.۰۰۹۹۶ | ۴ | ۱۲ |
| ۱۰۰ | -۰.۰۰۹۹۹ | ۴ | ۱۳ |
| ۱۰۰ | -۰.۰۰۹۹۸ | ۴ | ۱۴ |
| ۱۰۰ | -۰.۰۰۹۹۸ | ۴ | ۱۵ |
| ۱۰۰ | -۰.۰۰۹۹۸ | ۴ | ۱۶ |
| ۱۰۰ | -۰.۰۰۹۹۸ | ۴ | ۱۷ |
| ۱۰۰ | -۰.۰۰۹۹۸ | ۴ | ۱۸ |
| ۱۰۰ | -۰.۰۱۱۷۹۹ | ۴ | ۱۹ |
| ۱۰۰ | -۰.۰۰۹۹۹ | ۴ | ۲۰ |
| متوسط | | | |
| ۰/۰۱۸۵۶ | | | ۲/۰۵ |

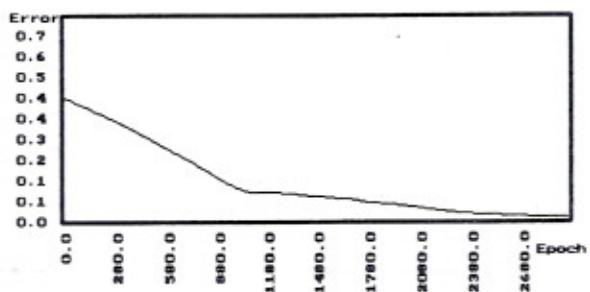
جدول ۷: نتایج شبیه‌سازی برای مسئله تقارن شش بیتی

| درصد تشخیص | متوسط مربع خطأ | تعداد واحدهای مخفی | شبکه |
|------------|----------------|--------------------|-------|
| ۱۰۰ | ۰.۰۰۰۰۳ | ۵ | ۱ |
| ۱۰۰ | ۰.۰۰۱۱۲ | ۲ | ۲ |
| ۱۰۰ | ۰.۰۱۰۸۷ | ۲ | ۳ |
| ۸۷/۵ | ۰.۱۰۵۷۹ | ۲ | ۴ |
| ۸۷/۵ | ۰.۰۹۴۴۲ | ۲ | ۵ |
| ۸۷/۵ | ۰.۱۰۹۰۹ | ۵ | ۶ |
| ۸۷/۵ | ۰.۱۰۹۳۸ | ۲ | ۷ |
| ۸۷/۵ | ۰.۱۰۱۷۸ | ۵ | ۸ |
| ۸۷/۵ | ۰.۰۹۷۷۹ | ۴ | ۹ |
| ۸۷/۵ | ۰.۱۰۷۹۳ | ۳ | ۱۰ |
| ۸۷/۵ | ۰.۰۹۵۳۵ | ۳ | ۱۱ |
| ۸۷/۵ | ۰.۰۹۳۷۵ | ۲ | ۱۲ |
| ۸۹/۶ | ۰.۰۰۲۵۹۸ | ۲/۱۶ | متوسط |

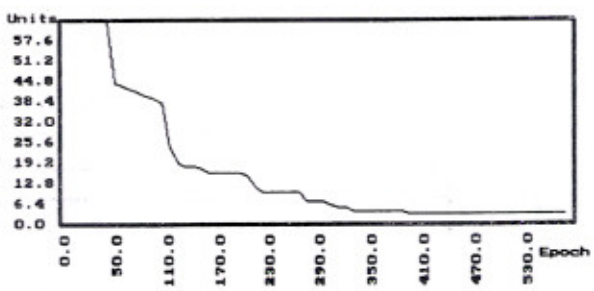
شکل های ۲۱ الی ۲۴ منحنی تغییرات تعداد واحدهای مخفی و میانگین مربع خطأ براساس تکرار ارائه الگو به شبکه را برای یک شبیه‌سازی نمونه نشان میدهدند.



شکل ۲۱: منحنی تغییرات تعداد واحدهای مخفی بر اساس تکرار ارائه الگو (تقارن چهاربیتی)

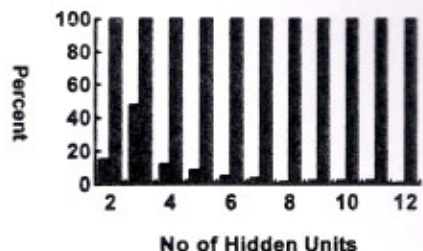


شکل ۲۲: منحنی میانگین مربع خطأ بر اساس تکرار ارائه الگو (تقارن چهاربیتی)



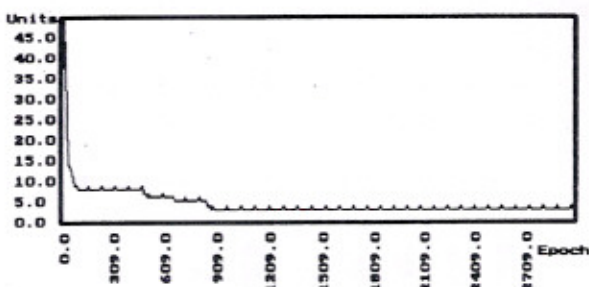
شکل ۲۳: منحنی تغییرات تعداد واحدهای مخفی بر اساس تکرار ارائه الگو (تقارن شش بیتی)

■ Networks Converged ■ Recognition Rate

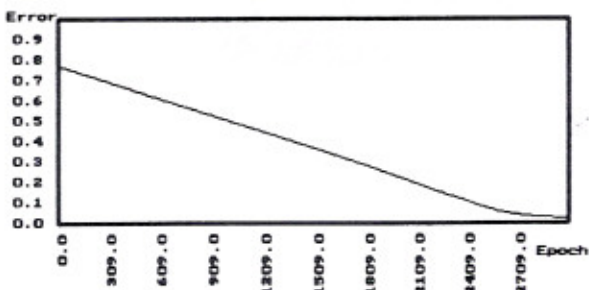


شکل ۱۸: هیستوگرام تعداد واحدهای مخفی تعیین شده توسط الگوریتم بقا

شکل های ۱۹ و ۲۰ منحنی تغییرات تعداد واحدهای مخفی و میانگین مربع خطأ براساس تکرار ارائه الگو (Epoch) به شبکه با استفاده از HULA (2, 7, 50) برای یک شبیه‌سازی نمونه را نشان میدهند.



شکل ۱۹: منحنی تغییرات تعداد واحدهای مخفی بر اساس تکرار ارائه الگو (XOR)



شکل ۲۰: منحنی میانگین مربع خطأ بر اساس تکرار ارائه الگو (XOR)

- مسئله تقارن: برای حل این مسئله حداقل دو واحد مخفی مورد نیاز میباشد[۲۶]. دو گروه آزمایش برای مسئله تقارن انجام گرفته است: تقارن چهار بیتی و تقارن شش بیتی، برای بردارهای چهار بیتی ۴۵ شبکه و برای بردارهای شش بیتی ۱۲ شبکه توسط الگوریتم پیشنهادی آموزش داده شده اند که نتایج آن در ذیل آمده است.

جدول ۶: نتایج شبیه‌سازی برای مسئله تقارن چهار بیتی

| درصد تشخیص | متوسط مربع خطأ | تعداد واحدهای مخفی | شبکه |
|------------|----------------|--------------------|-------|
| ۱۰۰ | ۰.۰۱۲۱۷۹ | ۲ | ۹-۱ |
| ۱۰۰ | ۰.۰۰۵۷۱۸ | ۲ | ۱۳-۱ |
| ۱۰۰ | ۰.۰۱۰۳۹۴ | ۴ | ۲۷-۱۹ |
| ۱۰۰ | ۰.۰۰۸۴۴۵ | ۵ | ۴۱-۲۸ |
| ۱۰۰ | ۰.۰۰۷۹۱۸ | ۶ | ۴۹-۴۲ |
| ۱۰۰ | ۰.۰۰۹۴۷۵ | ۷ | ۵۰-۴۴ |
| ۱۰۰ | ۰.۰۰۲۲۴۳ | ۴/۱۸ | متوسط |

جدول ۸: نتایج هرس بوسیله روش محاوره‌ای برای مسئله Parity چهار بیتی

| درصد تشخیص | متوجه خطأ | تعداد واحدهای مخفی | شبکه |
|------------|-----------|--------------------|-----------|
| ۸۷/۰ | -۰/۱۲ | ۳ | ۱ |
| ۹۳/۷ | -۰/۰۶ | ۵ | ۲ |
| ۹۳/۷ | -۰/۰۶ | ۴ | ۳ |
| ۱۰۰ | -۰/۰۰ | ۶ | ۴ |
| ۱۰۰ | -۰/۰۰ | ۶ | ۵ |
| ۱۰۰ | -۰/۰۰ | ۷ | ۶ |
| ۱۰۰ | -۰/۰۰ | ۵ | ۷ |
| ۹۳/۷ | -۰/۰۶ | ۴ | ۸ |
| ۱۰۰ | -۰/۰۰ | ۶ | ۹ |
| ۸۸ | -۰/۱۲ | ۵ | ۱۰ |
| ۹۵/۶۶ | -۰/۰۴۴ | ۵/۱ | متوجه خطأ |

جدول ۹: نتایج هرس بوسیله روش محاوره‌ای برای مسئله تقارن

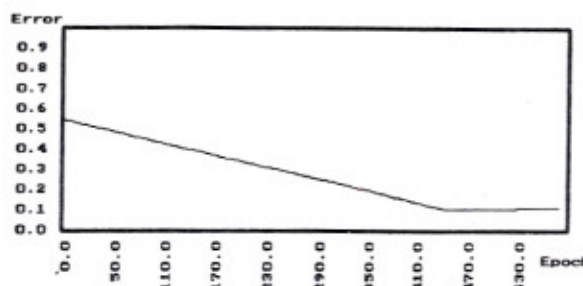
| درصد تشخیص | متوجه خطأ | تعداد واحدهای مخفی | شبکه |
|------------|-----------|--------------------|-----------|
| ۱۰۰ | -۰/۰۰ | ۶ | ۱ |
| ۱۰۰ | -۰/۰۰ | ۹ | ۲ |
| ۱۰۰ | -۰/۰۱ | ۶ | ۳ |
| ۱۰۰ | -۰/۰۰ | ۸ | ۴ |
| ۱۰۰ | -۰/۰۰ | ۷ | ۵ |
| ۱۰۰ | -۰/۰۰ | ۴ | ۶ |
| ۱۰۰ | -۰/۰۱ | ۶ | ۷ |
| ۸۷/۵ | -۰/۰۲ | ۶ | ۸ |
| ۹۳/۷ | -۰/۰۱ | ۷ | ۹ |
| ۱۰۰ | -۰/۰۴ | ۷ | ۱۰ |
| ۹۷/۴۹ | -۰/۰۱۸ | ۶/۶ | متوجه خطأ |

جدول ۱۰: نتایج هرس بوسیله روش تکراری برای مسئله Parity چهار بیتی

| درصد تشخیص | متوجه خطأ | تعداد واحدهای مخفی | شبکه |
|------------|-----------|--------------------|-----------|
| ۱۰۰ | -۰/۰۰ | ۵ | ۱ |
| ۱۰۰ | -۰/۰۲ | ۵ | ۲ |
| ۱۰۰ | -۰/۰۰ | ۴ | ۳ |
| ۱۰۰ | -۰/۰۰ | ۵ | ۴ |
| ۱۰۰ | -۰/۰۱ | ۵ | ۵ |
| ۱۰۰ | -۰/۰۰ | ۵ | ۶ |
| ۱۰۰ | -۰/۰۰ | ۵ | ۷ |
| ۱۰۰ | -۰/۰۰ | ۵ | ۸ |
| ۱۰۰ | -۰/۰۰ | ۵ | ۹ |
| ۱۰۰ | -۰/۰۰ | ۵ | ۱۰ |
| ۱۰۰ | -۰/۰۰۳ | ۵/۱ | متوجه خطأ |

جدول ۱۱: نتایج هرس بوسیله روش تکراری برای مسئله تقارن

| درصد تشخیص | متوجه خطأ | تعداد واحدهای مخفی | شبکه |
|------------|-----------|--------------------|-----------|
| ۱۰۰ | -۰/۰۱ | ۲ | ۱ |
| ۱۰۰ | -۰/۰۱ | ۲ | ۲ |
| ۱۰۰ | -۰/۰۰ | ۴ | ۳ |
| ۱۰۰ | -۰/۰۰ | ۴ | ۴ |
| ۱۰۰ | -۰/۰۲ | ۳ | ۵ |
| ۱۰۰ | -۰/۰۰ | ۳ | ۶ |
| ۱۰۰ | -۰/۰۲ | ۲ | ۷ |
| ۱۰۰ | -۰/۰۱ | ۴ | ۸ |
| ۱۰۰ | -۰/۰۲ | ۴ | ۹ |
| ۱۰۰ | -۰/۰۱ | ۵ | ۱۰ |
| ۱۰۰ | -۰/۰۸ | ۳/۶ | متوجه خطأ |

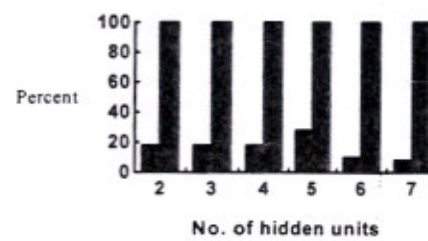


شکل ۲۴: منحنی میانگین مربع خطأ براسن تکرار ارائه الگوریتم تقارن شش بیتی

از بین ۶۵ شبکه آزمایش شده برای تقارن چهار بیتی، این الگوریتم قادر به آموزش ۱۵ شبکه نیووده است. تعداد واحدهای مخفی و درصد تشخیص آنها برای مواردی که الگوریتم همگرا شده است توسط هیستوگرام شکل ۲۵ داده شده است. در این مسئله ۱۸ درصد از شبکه ها به دو واحد مخفی (مقدار بهینه)، ۱۸ درصد به سه واحد، ۱۸ درصد به چهار واحد، ۲۸ درصد به پنج واحد و کمتر از ۱۰ درصد به شش واحد و ۸ درصد به هفت واحد همگرا می‌شوند.

برای مسائل XOR و تقارن زمانی، که تعداد واحدهای مخفی به مقدار بهینه نزدیک می‌شود سرعت آموزش شبکه بسیار کند می‌گردد.

■ Networks Converged ■ Recognition Rate



شکل ۲۵: هیستوگرام تعداد واحدهای مخفی تعیین شده توسط الگوریتم تقارن

۶- نتیجه‌گیری

در این مقاله الگوریتمی برای تعیین تعداد واحدهای مخفی شبکه عصبی سه لایه بنام الگوریتم بقا که از اتوماتان های مهاجرت اشیاء استفاده می‌کند ارائه گردیده است. در این الگوریتم آموزش را زیک شبکه بزرگ شروع نموده و اتومان یادگیر با افزودن و کاستن واحدها سعی در پیدا نمودن ساختار مناسب برای شبکه را دارد. هر چند ممکن است این روش را در گروه الگوریتم های ترکیبی قرار داد اما در این روش از الگوریتم های سازنده یا الگوریتم های هرس یا ترکیبی از آنها استفاده نشده است بلکه تعیین ساختار شبکه بصورت مسئله افزار مجموعه ها تعریف شده است. نتایج آزمایشات نشان میدهد که تعداد واحدهای مخفی تعیین شده توسط این الگوریتم خوبی نزدیک به مقدار بهینه میباشد و همچنین مستقل از تعداد واحدهایی است که در شروع آموزش شبکه در نظر گرفته می‌شود. بعنوان نمونه الگوریتم ارائه شده در این مقاله با نتایج حاصله توسط دو الگوریتم هرس محاوره‌ای [۲۱] و هرس تکراری [۵] برای مسائل Parity و تقارن چهار بیتی که از مقاله [۵] گرفته شده است (جداول ۸ الی ۱۱) مقایسه گردیده است مقایسه این جداول با جداول داده شده در این مقاله کارایی الگوریتم بقا را نشان میدهد.

- [19] Meltser, M., Shoham, M., and Manevitz, L. M. (1996). Approximating Function by Neural Networks: A Constructive Solution in the Uniform Norm, *Neural Networks*, Vol 9, No. 6, pp. 965-978.
- [20] Meybodi, M. R. and Beigy, H. (1998). New Class of Learning Automata Based Scheme for Adaptation of Backpropagation Algorithm Parameters, Proc. of EUFIT-98 (To appear).
- [21] Meybodi, M. R. and Lakshmivarhan, S. (1983). A Learning Approach to Priority Assignment in a Two Class M/M/1 Queuing System with Unknown Parameters, Proc. of Third Yale Workshop on Applications of Adaptive Systems Theory, Yale University, pp. 106-109.
- [22] Mezard, M. and Nadal, J. P. (1989). Learning in Feedforward Neural Networks: The Tiling Algorithm, *Journal of Physics*, pp. 1285-1296.
- [23] Minor, J. M. (1993). Parity With Two Layer Feedforward Nets, *Neural Networks*, Vol. 6, No. 5, pp. 705-707.
- [24] Nabhan, T. M. and Zomaya, A. Y. (1994). Toward Neural Networks Structures for Function Approximation, *Neural Networks*, Vol. 7, No. 1, pp. 89-99.
- [25] Narendra, K. S. and Thathachar, M. A. L. (1989). *Learning Automata : An Introduction*, Prentice-hall, Englewood cliffs.
- [26] Oommen, B. J. and Ma, D. C. Y. (1988). Deterministic Learning Automata Solutions to the Equipartitioning Problem, *IEEE Trans. on Computers*, No. 37, No. 1, pp. 2-13.
- [27] Oommen, B. J., Valiveti, R. S., and Zgierski, J. R. (1991). An Adaptive Learning Solution to the Keyboard Optimization Problem, *IEEE Trans. on Systems, Man, and Cybernetics*, Vol. 21, No. 6, pp. 1608-1618.
- [28] Oommen, B. J. and Croix, E. V. de St. (1996). Graph Partitioning Using Learning Automata, *IEEE Trans. on Computers*, No. 45, No. 2, pp. 195-208.
- [29] Rumelhart, D. E., Hinton, G. E., and Williams, R. J. (1986). Learning Internal Representations by Error Backpropagation, In Parallel distributed processing, Cambridge, MA: MIT Press.
- [30] Reed, R. (1993). Pruning Algorithms - A Survey, *IEEE Trans. on Neural Networks*, Vol. 4, No. 5, pp. 740-747.
- [31] Sietsma, J. and Dow, R. J. F. (1991). Creating Artificial Neural Networks that Generalize, *Neural Networks*, Vol. 4, No. 1, pp. 67-79.
- [32] Sirat, J. A. and Nadal, J. P. (1990). Neural Trees: A New Tool for Classification, Preprint, Laboratoires d'Electronique, Philips, Limeil Brevannes, France.
- [33] Schaffer, J. D., Whitley, D., and Eshelman, L. J. (1992). Combinations of genetic algorithms and neural networks: A Survey of the state of the art, *IEEE Proc. COGANN-92*, pp. 1-37.
- [34] Sperduti, A. and Starita, A. (1993). Speed Up Learning and Network Optimization with Extended Backpropagation, *Neural Networks*, Vol. 6, pp. 365-383.
- [35] Tamura, S. and Tateishi, M. (1997). Capabilities of a Four-Layered Feedforward Neural Network: Four Layers Versus Three, *IEEE Trans. on Neural Networks*, Vol. 8, No. 2, pp. 251-255.
- [36] Thathachar, M. A. L. and Sastry, P. S. (1987). Learning Optimal Discriminant Functions Through a Cooperative Game of Automata, *IEEE Trans. Syst., Man and Cybern.*, Vol. SMC-27, pp. 73-85.
- [37] Whitley, D. and Bogart, C. (1990). The Evolution of Connectivity: Pruning Neural Networks Using Genetic Algorithms, Proc. of Int. Joint Conf. on Neural Networks, Vol. I, pp. 134.
- [38] Yao, X. and Liu, Y. (1997). A New Evolutionary System for Evolving Artificial Neural Networks, *IEEE Trans. on Neural Networks*, Vol. 8, No. 3, pp. 694-713.
- [39] Yeung, D. Y. (1991). Automatic Determination of Network Size for Supervised Learning, IEEE Int. Joint Conf. on Neural Networks, pp. 158-164.
- [40] Yu, X. H. (1992). Can Backpropagation Error Surface Not Have Local Minima, *IEEE Trans. on Neural Networks*, Vol. 3, No. 6, pp. 1019-1021.

اغلب روش‌های گزارش شده برای تعیین ساختار شبکه از الگوریتم‌های کوتوردی استفاده می‌کنند و مشکل گرفتاری در حداقل محلی را دارند. در این روش بدليل استفاده از روش‌های جستجوی عمومی، امکان گرفتاری در حداقل‌های محلی فضای ساختارها کم می‌شود.

مراجع

- [1] Angelone, P. J., Saunders, G. M., and Pollack, J. B. (1994). Evolutionary Algorithm that Construct Recurrent Neural Networks, *IEEE Trans. on Neural Networks*, Vol. 5, No. 1, pp. 54-65.
- [2] Arai, M. (1993). Bounds on the Number of Hidden Units in Binary-Valued Three-Layer Neural Networks, *Neural Networks*, Vol. 6, pp. 855-860.
- [3] Beigy, H. and Meybodi, M. R. (1998). A Fast Method for Determining the Number of Hidden Units in Feedforward Neural Networks, Proc. of CSIC-97, Tehran, Iran, pp. 414-420. 1998 (In Persian).
- [4] Beigy, H. and Meybodi, M. R. (1998). Optimization of Topology of Neural Networks: A Survey, Technical Reports, Computer Eng. Dept. Amirkabir Univ.
- [5] Castellano, G., Fanelli, A. M., and Pelillo, M. (1997). A Iterative Pruning Algorithm for Feedforward Neural Networks, *IEEE Trans. on Neural Networks*, Vol. 8, No. 3, pp. 519-531.
- [6] Fahlman, S. E. and Lebier, C. (1990). The Cascade - Correlation Learning Architecture, *Advances in Neural Information Processing System*, Vol. II, pp. 524-532.
- [7] Frean, M. (1990). The Upstart: A Method for Constructing and Training Feedforward Neural Networks, *Neural Computation*, pp. 198-209.
- [8] Hashim, A. A., Amir, S., and Mars, p. (1986). Application of Learning Automata to Data Compression, In *Adaptive and Learning Systems*, K. S. Narendra (Ed.), New York: Plenum Press, pp. 229-234.
- [9] Hirose, Y., Yamashita, K., and Hijya, S. (1991). Back-Propagation Algorithm Which Varies The Number of Hidden Units, *Neural Networks*, Vol. 4, No. 1, pp. 61-66.
- [10] Huang, S. C. and Huang, Y. F. (1991). Bounds on the Number of Hidden Neurons in Multilayer Perceptrons, *IEEE Trans. on Neural Networks*, Vol. 2, No. 1, pp. 47-56.
- [11] Kruschke, J. H. (1988). Creating Local and Distributed Bottlenecks in Hidden Layer of Backpropagation Networks, Proc. of Connectionist Models, Summer School, Eds. D. Touretzky, G. Hinton, and T. Sejnowski, pp. 120-126.
- [12] Kruschke, J. H. (1989). Improving Generalization in Backpropagation Networks, Proc. of Int. Joint Conf. on Neural Networks, Vol. I, pp. 443-447.
- [13] Kwok, T. Y. & Yeung, D. Y. (1997). Constructive Algorithms for Structure Learning in Feedforward Neural Networks for Regression Problems, *IEEE Trans. on Neural Networks*, Vol. 8, No. 3 pp. 630-645.
- [14] Lin, J. H. & Vitter, J. S. (1991). Complexity Results on Learning by Neural Nets, *Machine Learning*, Vol. 6, pp. 211-230.
- [15] Maniezzo, V. (1994). Genetic Evolution of The Topology and Weight Distribution of Neural Networks, *IEEE Trans. on Neural Networks*, Vol. 5, No. 1, pp. 39-53.
- [16] Marchand, M., Golea, M., and Rujan, R. (1990). A Convergence Theorem for Sequential Learning in Two-Layer Perceptrons, *Europhysics Letters* 11, pp. 487-492.
- [17] Mars, P., Chen, J. R., and Nambiar, R. (1998). Learning Algorithms: Theory and Application in Signal Processing, Control, and Communications, CRC press, New York.
- [18] Mars, P. and Narendra, K. S., and Chrystall, M. (1983). Learning Automata Control of Computer Communication Networks, Proc. of Third Yale Workshop on Applications of Adaptive Systems Theory, Yale University.